

铜含量对镁合金化学镀 Ni-Cu-P 镀层性能的研究

马壮,王茺,李智超

(辽宁工程技术大学材料科学与工程系,辽宁 阜新 123000)

[摘要] 为研究镀液中不同铜离子含量对镁合金 AZ91D 化学镀 Ni-Cu-P 镀层性能的影响,采用硫酸镍为镍源,在镁合金化学镀 Ni-P 的镀液中加入不同含量的铜离子,可直接得到不同的 Ni-Cu-P 镀层,但都较均匀致密,结合力良好。经过耐醋酸腐蚀、磨粒磨损试验,结果表明:在硫酸铜含量为 0.5g/L 的镀液中获得的 Ni-Cu-P 镀层,较基体的耐蚀性提高了 0.84 倍,耐磨性提高了 0.56 倍。由此得出结论:镀液中硫酸铜含量为 0.5g/L,所得到的镀层性能最佳。

[关键词] 镁合金;化学镀;Ni-Cu-P;耐磨性;耐蚀性

[中图分类号] TQ153

[文献标识码] A

[文章编号] 1001-3660(2008)01-0034-03

The Study on the Effect of Different Copper Content on Electroless Ni-Cu-P Plating for Magnesium Alloy

MA Zhuang, WANG Chong, LI Zhi-chao

(College of Materials Science and Engineering, Liaoning Technical University, Fuxin 123000, China)

[Abstract] For study on different copper content on magnesium alloys AZ91D electroless planting Ni-Cu-P, using nickel sulfate as nickel resource, adding different content copper ion to the bath of electroless Ni-P plating on magnesium alloys, the Ni-Cu-P plating coat can be obtained. The coating is uniform and dense and has good adhesion. The corrosion and wear test result shows that when the bath is 0.5 g/L CuSO₄ the basal body may get Ni-Cu-P plating coat, the corrosion resistance can improve 5.08 to basal body, the wear resistance of Ni-Cu-P plating coat can improve 6.77. This conclusion is that when the content of cupric sulfate is 0.5 g / L in plating solution, the plating has the best effect.

[Key words] Magnesium alloy; Electroless planting; Ni-Cu-P; Wear resistance; Corrosion resistance

0 引言

镁合金具有高的导热性和抗磁干扰性、可压铸薄壁件及易于回收等优点,因而人们期待着用镁合金作为轻质材料应用于汽车,以减轻汽车重量,节约能源,降低污染,改善环境。发达国家现在正在大力度开发镁基材料,镁基材料被认为是 21 世纪最具开发和应用潜力的“绿色材料”^[1-2]。镁合金至今没有得到铝合金那样大规模的应用,其中最重要的一个原因就是耐腐蚀性能差。镁合金化学性质活泼,耐蚀性差,表面硬度低,尤其是较差的耐蚀性是制约其应用的一个不利因素。针对提高镁合金表面硬度和耐蚀性,已有很多的表面处理方法可以对镁合金提供保护,化学镀就是其中研究得较多的一种金属镀层保护工艺。在镁合金上化学镀 Ni-P 的工艺已有很多研究^[3-5],但化学镀 Ni-Cu-P 的研究便不多见。

本文将不同含量的硫酸铜加入到化学镀 Ni-P 工艺的镀液中,测试其镀速、结合力以及镀层的耐磨、耐蚀性能,分析不同铜含量对镀层性能的影响。

[收稿日期] 2007-08-18

[基金项目] 辽宁省教育厅科学技术研究项目(20060375)

[作者简介] 马壮(1963-),男,辽宁阜新人,教授,博士,从事金属材料及表面改性技术方面的研究。

1 试验部分

1.1 试验材料

选用 AZ91D 为基体。

1.2 前处理工艺

化学镀工艺流程为:试样打磨→超声波丙酮清洗→水洗→碱洗除油→水洗→酸洗→水洗→活化→水洗→化学镀 Ni-Cu-P →水洗→吹干。

其中前处理工艺配方及条件为:

1) 碱洗 15g/L NaOH、22.5g/L Na₂CO₃·10H₂O, 温度 85℃, 时间 10min。

2) 酸洗 200g/L CrO₃、1g/L KF, 温度为室温, 时间 5min。

3) 活化 385mL/L HF(40%), 温度为室温, 时间 10min。

1.3 镀液配方及条件

化学镀液配方如下:

NiSO ₄ ·6H ₂ O	15g/L
NaH ₂ PO ₂ ·H ₂ O	16g/L
C ₆ H ₈ O ₇ ·6H ₂ O	10g/L
HF(40%)	12mL/L
NH ₄ HF	16g/L
稳定剂	适量
CuSO ₄ ·5H ₂ O	0.4~0.6g/L

pH 6.7
温度 $(80 \pm 2)^\circ\text{C}$

部分试样 Ni-Cu-P 进行热处理:在 250°C 下加热 2h。

1.4 性能测试

- 1) 沉积速率的测定 采用增重法,用电子天平称量试样化学镀 Ni-Cu-P 前后的质量,得到试样的增重,再根据时间、施镀的总面积换算成沉积速度。
- 2) 结合力的评价 根据 GB/T13913-92,利用锉刀试验评价镀层的结合力^[6]。
- 3) 耐磨性测试 采用 ML-100 试验机进行磨料磨损的检测,所加载荷为 0.2kg,每次行程 40cm,行程 3 次。用电子天平称得试样磨损前后的质量,计算磨损失重。
- 4) 耐蚀性测试 采用浸渍腐蚀失重法测定镀层腐蚀失重,浸渍腐蚀液为 3.5% NaCl 溶液和 5% 的醋酸溶液,用分析天平称量试样腐蚀前后的质量,计算腐蚀失重^[7-8]。

2 试验结果分析

2.1 沉积速率及结合力

由图 1 可以看出,在硫酸铜含量为 0.4g/L 时,镀速最大为 $8.01\text{mg}/(\text{cm}^2 \cdot \text{h})$,随着硫酸铜含量的增加,在硫酸铜含量为 0.6g/L 时镀速为 $6.44\text{mg}/(\text{cm}^2 \cdot \text{h})$,其沉积速率呈线性下降的趋势。这是因为铜优先沉积在试样表面后,由于铜的覆盖而降低了试样表面活性,使其表面催化能力大大降低,自催化反应速度减慢,所以随着铜含量的不断增加,铜的抑制作用明显,导致沉积速率下降。

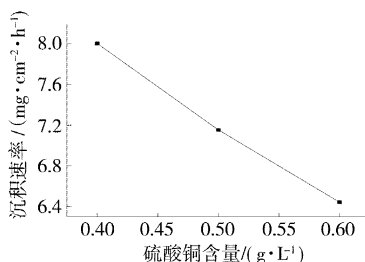


图 1 铜含量对沉积速率影响

Figure 1 The effect of Cu content on deposition rate

在化学镀 Ni-Cu-P 镀层上进行锉刀试验:将试样固定在台钳上,用粗齿的扁形锉刀挫其断面,锉刀与镀层表面成 45° 。结果表明:镀层与基体均未出现剥离,表明镀层的结合力良好。

2.2 耐磨性分析

AZ91D 及 Ni-Cu-P 镀层(热处理前后)在相同磨粒磨损条件下的耐磨数据如表 1 所示。

由表 1 可知:随着镀液中铜含量的增加,耐磨性逐渐增加,当含量为 0.5g/L 时,相对耐磨性为 2.30,耐磨性最佳;当含量为 0.6g/L 时,耐磨性开始下降。

镀层的耐磨性增加是由于铜的加入,与镍可以无限固溶,形成固溶体,达到固溶强化的作用,所以随着铜含量的增加,镀层的耐磨性增加;另外,铜含量的增加强烈地抑制了磷的沉积,由于镀层含磷量低时镀层的耐磨性较高,所以化学镀 Ni-Cu-P 镀层的耐磨性是较好的。但是当镀层中的铜含量过多时,镀层的

表 1 热处理前后 Ni-Cu-P 镀层相对耐磨性

Table 1 The wear resistennce of chemistry Ni-Cu-P plating after heat treatment

硫酸铜含量/(g·L⁻¹)	热处理前		热处理后	
	质量损失/(mg·cm⁻²)	相对耐磨性 ε	质量损失/(mg·cm⁻²)	相对耐磨性 ε
AZ91D	6.16	1.00	6.16	1.00
0.4	2.90	2.12	1.04	5.92
0.5	2.68	2.30	0.91	6.77
0.6	2.96	2.08	1.58	3.90

耐磨性反而降低,这是由于铜增多,镀层的质量下降,表面粗糙,孔隙率增大,所以结合力也下降,镀层不耐磨。

为进一步提高 Ni-Cu-P 镀层的耐磨性,对镀有 Ni-Cu-P 镀层的试样进行了热处理。热处理后镀层耐磨性有很大的提高,镀液铜含量为 0.5g/L 所得的试样能达到热处理前的 2.95 倍,相对耐磨性达到 6.77。这是由于热处理后会有新相生成,变成晶体结构,耐磨性有所提高。

2.3 耐蚀性分析

AZ91D 及 Ni-Cu-P 镀层在盐、酸溶液中的腐蚀数据分别列于表 2、表 3、表 4。

表 2 基体与镀层在 3.5%NaCl 溶液中的腐蚀速率

Table 2 The corrosion rate of AZ91D and plating

硫酸铜含量/(g·L⁻¹)	质量损失/(mg·cm⁻²)		平均腐蚀速率/(mg·cm⁻²·h⁻¹)
	0.5h	1.0h	
AZ91D	0.82	1.70	1.69
0.4	0.41	1.12	1.13
0.5	0.16	0.60	0.60
0.6	0.46	1.02	1.02

表 3 基体与镀层在 5% 醋酸中的平均腐蚀速率

Table 3 The corrosion rate of AZ91D and plating coat in 5% HAc

硫酸铜含量/(g·L⁻¹)	质量损失/(mg·cm⁻²)		平均腐蚀速率/(mg·cm⁻²)
	0.5h	1.0h	
AZ91D	3.33	6.79	9.93
0.5	0.49	1.04	1.63

从表 2 中可以看出,经过化学镀 Ni-Cu-P 的镁合金试样比 AZ91D 镁合金在腐蚀液中耐蚀得多。化学镀 Ni-Cu-P 镀层能够很大程度上改善镁合金的耐蚀性。当硫酸铜含量为 0.5g/L 时的镀件是最耐腐蚀的,它的腐蚀失重不仅大大低于镁合金,而且比其它含 Cu 量的镀件也耐蚀得多。这是由于在此镀液中含有活性元素 P, P 是一种阳极去极化元素,会促使其附近的镍、铜溶解,使表面富集 1 层磷化钝化膜,从而阻碍镀层的进一步腐蚀,镀层的耐蚀性能增加。

由表 3 和表 4 可以看出,在醋酸腐蚀液中,镁合金极不耐蚀,所以在醋酸溶液中,腐蚀最为严重;若铜含量不当,镀层仍然不能对基体起到良好的保护作用,当硫酸铜含量为 0.4g/L 或 0.6g/L 时,镀层的耐腐蚀性能较 0.5g/L 时的差。当硫酸铜含量为 0.5g/L 时,镀层的孔隙率较低,保护性良好的镀层可以很

表 4 基体与镀层在 5% 醋酸中的腐蚀现象
Table 4 The phenomenon of AZ91D and plating coat in 5% HAc

基体与镀层	0.5h	1h	1.5h	2h
AZ91D	放入后有大量气泡生成，腐蚀相当严重，腐蚀坑很多，银白色镁变黑。	气泡量增多，继续严重腐蚀。	气泡继续增加，全部覆盖在镁表面，很难观察到镁基体。	镁基体仅剩下很薄的 1 层镁片
镀液含 0.4g/L CuSO ₄	有气泡产生，有些许气泡、掉皮现象。	—	—	—
镀液含 0.5g/L CuSO ₄	没有任何反应	表面没有变化，但仔细观察可以看到有少许气泡停留在试样表面。	仍然是没有明显的变化，有少许气泡停留。	有 1 个小表面出现部分掉皮现象。
镀液含 0.6g/L CuSO ₄	没有严重反应，悬孔处有少许气泡。	气泡有所增加。	基体产生气泡	气泡增多，有 2 个面出现掉皮现象。

好地保护基体，质量损失很小，镀层的平均腐蚀速率为 $1.09 \text{ mg}/(\text{cm}^2 \cdot \text{h})$ ，比镁基体提高了 0.84 倍，镀层的耐蚀性得到了改善。

3 结 论

- 1) AZ91D 在加入硫酸铜的硫酸镍镀液中可直接获得 Ni-Cu-P 镀层，镀层的结合力良好。
- 2) 在硫酸铜为 0.5g/L 的镀液中获得的镀层的耐磨性最好，相对于 AZ91D 基体而言，其相对耐磨性为 2.30，热处理后相对耐磨性为 6.77。
- 3) 在硫酸铜为 0.5g/L 的镀液中获得的镀层的耐蚀性最好，在氯化钠中镀层的平均腐蚀速率为 $0.6 \text{ mg}/(\text{cm}^2 \cdot \text{h})$ ，在醋酸中镀层的平均腐蚀速率为 $1.09 \text{ mg}/(\text{cm}^2 \cdot \text{h})$ 。

[参 考 文 献]

- (上接第 10 页)
- 位共晶组织，也使得周围组织更容易被腐蚀，最终形成了黑色的条纹状形貌。通过高温热处理可以有效地消除这种缺陷，但热处理会影响材料的力学性能，且耗时过长。应当通过完善镁合金压铸的工艺设计，提高镁合金产品铸件质量。
- [参 考 文 献]
- [1] 刘正, 张奎, 曾小勤. 镁基轻质合金理论基础及其应用 [M]. 北京: 机械工业出版社, 2002. 1-34, 142-163
 - [2] Gray J E, Luan B. Protective coatings on magnesium and its alloys—a critical review [J]. Journal of Alloys and Compounds, 2002, 336(1/2): 88-113
 - [3] 王莹, 张津, 麻彦龙, 等. 镁合金表面处理新进展 [J]. 表面技术, 2006, 35(6): 61-64
 - [4] 郑臻, 余新泉, 孙扬善. 环保型镁合金化学镀镍工艺研究 [J]. 材料保护, 2006, 39(8): 22-25
 - [5] Ruden T J, Albright D L. High ductility magnesium alloy matrix applications [J]. Advanced Mater and Processes, 1999, 145(6): 28-32
 - [6] 刘正, 王越, 王中光, 等. 镁基轻质材料的研究与应用 [J]. 材料研究学报, 2000, 14(6): 449-456
 - [7] Clark J B. Age hardening in a Mg-9wt. % Al alloy [J] Aata Metallurgica, 1968, (16): 141-152
 - [8] Luo A, Renau D J, Nakatsugawa I, et al. Magnesium casting for automobile applications [J]. JOM, 1995, 47(7): 28-31
 - [9] Hu H. Squeeze of magnesium alloy sand their composite [J]. Mater Sci., 1998, (3): 1579-1589
 - [10] 向阳辉, 胡文彬, 沈彬, 等. 镁合金化学镀的初始沉积机制 [J]. 上海交通大学学报, 2000, 34(12): 1638-1644
 - [11] Xing Y H. A study on surface state during the treatment of electroless nickel plating on magnesium alloys [J]. Trans IMF, 2001, 79(1): 30-35
 - [12] Fairweather W A. Electroless nickel plating of magnesium [J]. Trans IMF, 1997, 75(3): 113-117
 - [13] 陈飞, 周海, 杨英歌, 等. 镁合金表面处理新技术 [J]. 石油化工学院学报, 2005, 3(4): 6-10
 - [14] Ye H Z, Liu X Y. Microstructure and tensile properties of Ti6Al4V/AM60B magnesium matrix composite [J]. Journal of Alloys and Compounds, 2005, 402(1/2): 62-169
 - [15] 长崎诚三, 平林真. 二元合金状态图集 [M]. 北京: 冶金工业出版社, 2004. 35
 - [16] 夏明许, 袁森, 蒋百灵, 等. 镁合金压铸件收缩缺陷分析及对策 [J]. 特种铸造及有色合金, 2002, 22(6): 23-25
 - [17] 廖慧敏, 龙思远, 曹韩学, 等. 镁合金压铸热裂纹形成机制及工艺对策 [J]. 特种铸造及有色合金, 2006, 26(6): 350-352
 - [18] 王业双, 丁文江, 王渠东, 等. 镁合金的热裂行为测试研究 [J]. 特种铸造及有色合金, 2001, 21(3): 13-15
 - [19] 于海朋, 王峰, 于宝义, 等. 工艺参数和热处理对压铸 AZ91D 力学性能的影响 [J]. 特种铸造及有色合金, 2002, 22(2): 27-28
 - [20] 董文超, 王朝晖, 康永林, 等. T61 热处理和过热度对 AM60 镁合金组织及力学性能的影响 [J]. 汽车工艺与材料, 2004, (7): 26-28